

日本化学会第28春季年会 1973年

講演予稿集 II

54.083
141
1973
2

[第II分冊]

建物	教室番号	会場番号	4月1日(日)		4月2日(月)		4月3日(火)		4月4日(水)		
			午前	午後	午前	午後	午前	午後	午前	午後	午後
7	7702教室	①	電気化学	衛生防食	環境化学						燃焼防災
	7703教室	②	分析化学	プラズマ 熱・蛍光X線・原子吸光分析	イオン交換 吸光分析	一般分析 蛍光分析	溶媒抽出	有機試薬 ボーラグラフイー	電気分析		
	7704教室	③	分析化学	クロマトグラフィー など	磁気共鳴 質量分析	ガスクロ					
科学技術館	第3会議室	④	放射化学		無機工業化学						
	第4会議室	⑤	写真・印刷・ ケイ光体	地球化学 植物化学	無機化学	金属性、熱分解、抽出	ガラス				

A講演：講演7分、討論2分
B講演：講演14分、討論5分
(B講演は講演番号右肩に*印を付けてあります)

556/24



目的および方法

目的は、カセイソーダ水溶液中の液体カリウム電極における水素発生反応に対して、電子移動過程の過電圧と、その動力学的法則を明らかにすることにある。

過電圧構成および反応構成をきめるために、Galvanostatic Transient Method を用いた。その原理は次の通りである。水素発生反応が定常的に進行している電極に対し一定電流変化 Δi を与えたときに得られる過電圧-時間曲線から、 $\ln(-\Delta i/\eta_s) = t/t_1 + \ln C_0$, $t_1 = C_0 \cdot \gamma_1$ により、電子移動過程の時定数 t_1 、反応抵抗 γ_1 、電気二重層容量 C_0 を求め、 $-\eta_{IS} = \int_0^{\infty} \gamma_1 dC_s$ により、電子移動過程の過電圧 η_{IS} と電流密度 i_s との関係を求めめる^①。

結果および討論

図1に32°Cにおける0.1N NaOHaq. 中の種々の定常状態近傍における $\log(-\Delta i/\eta_s)$ 対時間 t 曲線の一例を示す。この図から、 C_0 は過電圧によらず一定であり、 t_1 は過電圧の増加とともに減少することがわかる。 t_1 および C_0 を用いて得られた γ_1 を i_s に対してプロットしたものを見ると、この図の图形積分から、電子移動過程の過電圧変化 $\Delta \eta_{IS}$ を求めた。しかし、アルカリ性水溶液中のカリウム電極は $\eta_s = -500$ mV 近傍にカリウムイオン放電による静止電位を与えて、平衡水素電極電位を得ることができないため、 $\Delta \eta_{IS}$ の基準を -835 mV に取った。図3に $\Delta \eta_{IS}$ を $\log i_s$ に対してプロットしたものを示す。この図には同時に、全反応の分極曲線 $\log i_s - \eta_s$ を示す。これら二つの分極曲線は 120 mV の傾斜をもち、完全に一致していることが明らかになった。このことは、電流密度を増すことによる定常状態の全反応の過電圧の増加は、すべて電子移動過程にかかっていることを示している。すなわち、カセイソーダ水溶液中のカリウム水素電極反応の律速段階は電子移動過程であり、その過電圧は電気二重層の充電によるものであることが結論される。

(1) A. Matsuda and R. Notoya, J. Res. Inst. for Catalysis, Hokkaido Univ. 14, 165 (1966)

くしもととしひろ・まつだあきや

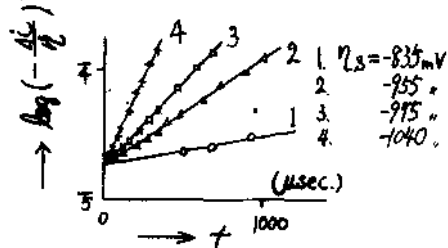


図1 $\log(-\frac{\Delta i}{\eta_s}) \sim t$ 曲線

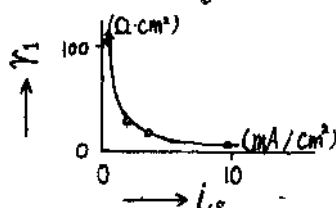


図2 $\gamma_1 \sim i_s$ 曲線

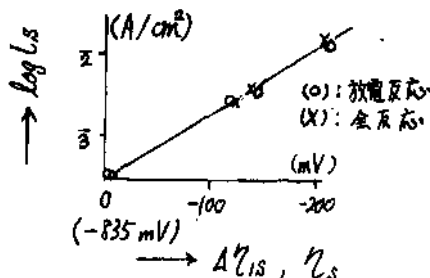


図3 分極曲線

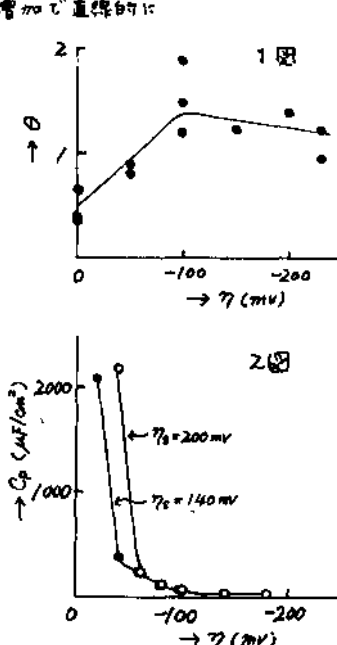
原子吸光分光分析法による水酸化バリウム水溶液中のニッケル水素
電極反応の中間体の決定
(北大歯研) 大森唯義

[目的] 水酸化バリウム水溶液中のニッケル水素電極反応の中間体は、 Galvano-static transient 法により、バリウム原子であることが結論された。本報は、この中間体を原子吸光分光分析法で決定し、その表面濃度と水素電極圧との関係を明らかにする目的である。

[方法] 純度 99.9% のニッケル箔を pH 10.9 の水酸化バリウム溶液に浸し、15 分間一定電流及び一定過電圧で分極したのち、電極を電解セルからとりだし、直ちに水素で飽和した同一濃度の苛性リード溶液に移し、ほぼ同一電流で 5 秒間分極することにより、吸着した中間体を失うことなく電極表面上に付いた水酸化バリウム溶液をヒリのぞいた。次に電極を洗きあげ、小さなガラス製容器に移し、約 2N の 3 回蒸留硫酸を 30CC 加え、加熱しながら電極表面をとかしおし、バリウムを溶液中へ移し、これと 2CC まで濃縮し、溶液中のバリウムの量を原子吸光分光分析器で定量した。用いた水、硫酸、ニッケルのバリウム含有量は、二の分光器のバリウム検出限界感度 2PPM 以下であり、更に、容器からのバリウムのしみだしがないことを確めた。

[結果] バリウム中間体の吸着量の測定は、過電圧 0 mV, -50 mV, -100 mV, -150 mV, -200 mV, -250 mV, で行い、全ての過電圧でバリウムを検出した。1 図にバリウムの吸着率と過電圧曲線の 1 例を示す。1 図から明らかなように、バリウムは過電圧の增加で直線的に増加し、-100 mV で吸着率は 1.5 上なり、それ以上の過電圧領域ではほぼ一定になる。2 図に過電圧降下曲線から得た微分容量と過電圧曲線を示す。これら二つの図の比較から、バリウム中間体の過電圧依存性は、直接スペクトル的方法で求めたものと、電気化学的方法で求めたものとがほぼ一致していることがわかる。

以上のことがから、過電圧の形成はバリウム原子の吸着及び吸収による電極金属の仕事函数の減少にもとづくものであることがわたり、100 mV 以上の過電圧でバリウムの吸着は一定にはなことは、前に報告した過電圧に飽和値が存在することを証明するものである。



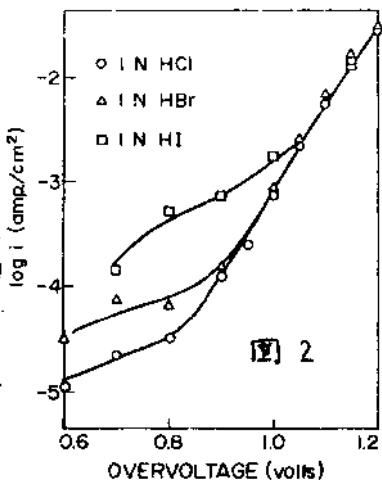
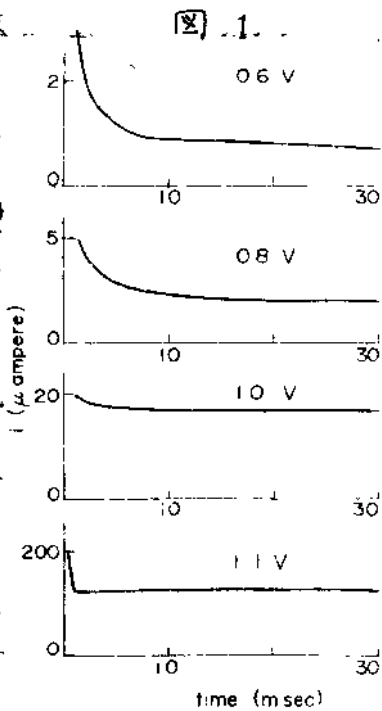
おおもり氏など

水銀上の水素電極反応機構
一定電位を与えた場合の挙動
(北大触研) 片山 明子

電極反応機構の研究にみいては、従来正常状態を一般に前提としているが、正常、非正常状態を厳密に区別しなければならない反応機構、それを必要としない機構がある。上記反応の反応機構で前者に属するのが電気化学機構と接触機構であり、後者に属するのは放電機構である。 H_2 上の反応機構としては電気化学機構と放電機構とが考えられている。前者の場合特定の実験条件の下では非正常状態から正常状態に移る様子を観測することが可能な筈である。それによりて反応機構を決定することが出来るばかりでなく、反応特性の知見も得ることが出来るこことを計算した。現報は一定電位を与えた時の電流-時間曲線を観測し、反応機構の決定に專めいた。

[実験] ボテンシオスタットを用い、 H_2 で飽和した溶液中の滴下電極を試験電極とした。 Hg 滴が成長はじめたから7秒後に一定過電圧パルスを与えた。パルス時間幅内で表面積変化は無視される。温度は30°Cであった。

[結果・考察] 図1に1N HCl中の種々の過電圧 η における電流-時間、いわゆる曲線を示した。時間0から7秒まで $\eta=0$ におかれ、7秒で η のパルスを与えた。パルスを与えてからの時間もとの関係である。低電圧領域ではもはもと共に減少するが高電圧領域ではしあわせに依存しないことがわかる。この傾向は電気化学機構をもとにした計算結果とよく一致している。パルスを与えたあと、40~50秒後、電流値の1N HCl, HBr, 及び HI 中の結果を $\log i$ vs. η 曲線として図2に示す。高電圧領域では $I > Br^- > Cl^- > I^-$ の順で depolarization が観測されている。HI中のいわゆる曲線は、他の溶液中にくらべてより高い η まではもとより依存する結果を与えている。これは特異吸着したI⁻が電極表面にあるため、 H_2^+ 間の反応能力が小さくなることから推論すると、計算結果と一致し、以上の結果は電位走査法による結果ともよい一致である。このことから、反応機構は電気化学機構であると結論される。



N₂水素電極反応の素反応速度の重水素トレーサー法による解説
(陽分極領域)

(北大 触媒研) ○松島龍夫 斎与三知夫

1. 重水素トレーサー法により 水素電極反応の各構成素反応の速度を過電圧及ぶ水素圧の函数として個々に決定し、これらとの速度と各素反応に要する各過電圧との関係を求める。

2. 反応系は輕水から調製した電解質溶液(0.5N NaOH), 重水素を含む水素ガス, 試験電極(铂線・表面積約10³cm²)及ぶ照合電極, 対極(ニッケル電極・表面積~10⁴cm²)とする。この反応の反応経路は水素についとは、H₂ $\xrightarrow{U_{rc}} 2\text{H}(a)$, H(a) $\xrightarrow{U_{rd}} \text{H}^+ + e^-$ である。(H(a)は吸着水素原子, 銀等は素反応の一方向速度)この系で試験電極も平衡電位より正に分極すると(=へつき対極は負の電位になり軽水素ガスのみを発生する)気相水素ガスの同位元素組成は次式に従い、 χ 変化することが予測される。

$$\chi = \chi_0 \exp(-\nabla t / n_{H_2}) \quad \dots \dots (1)$$

$$\left\{ \frac{\chi^{HD}}{\chi_0} - 2 + 2a^2 \frac{\chi_0}{(a-1)(a+\nabla/\nabla_r)} \right\} \chi_0^{-a} = \left\{ \frac{\chi^{HD}}{\chi} - 2 + 2a^2 \frac{\chi}{(a-1)(a+\nabla/\nabla_r)} \right\} \chi^{-a} \quad \dots \dots (2)$$

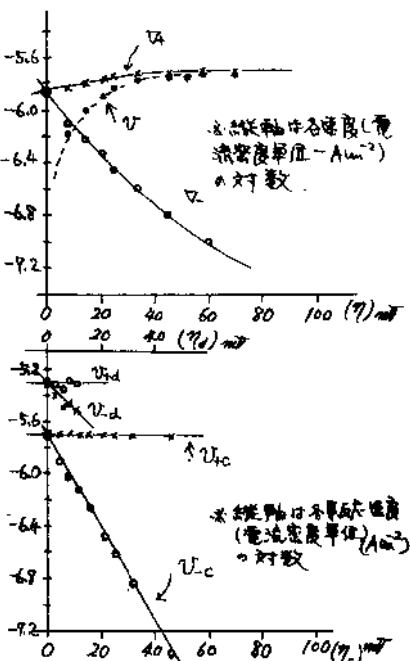
(χ , χ^{HD} は水素ガス中のD原子, HD分子率, χ_0 , χ_0^{HD} はそれらの初期値, ∇_r , ∇ は一方向きの正逆の全反応速度, a は水素分子数, t は反応時間)。 $a = 2U_{rc}/U_{rd}$ は反応前後の水素ガスの同位体組成を決定でき、更に $U_{rc} = \nabla_r(a+1)$, $U_c = U_r - U$, $U_{rd} = 2U_c/a$, $U_d = U_{rd} - 2U$ の關係から各素反応速度を計算できる。 V は正味の速度(電流密度)。

水素ガスの同位元素組成の決定はガスクロで行なった。

3. 図1は12°C, 30cmHg水素圧下で作り、た試験結果を示す。図1より解説1で得た全反応速度を全過電圧 η に對しプロットしたものである。 η が ~ 50 mVでは逆反応が無視され、 η_r と V は一致し、これは重水素原子が水素電極反応のみにより水溶液中に移行し、又同位体効果が小さいことを示す。然し正逆速度の対数は必ずしも直線的には変化しない。次に(2)式により各素反応の速度を個々に決定し、更に各素反応の過電圧 η_c , η_d を決定。

$\eta_c = \frac{RT}{2F} \ln \frac{U_{rc}}{U_c}$, $\eta_d = \frac{RT}{F} \ln \frac{U_{rd}}{1-a}$

より計算1と両者をプロットすると図2が得られる。 $\ln U_{rc}$, $\ln U_c$ が η_c に直線的に依存し、その勾配は無限大(Tafel 係数 $Z_{rc} \approx 0$)及び 28mV ($Z_c = 2$)である。これらの値はこの素反応に Mass Action law を適用したとき期待される値に近い。又 η_a は $-\chi$ の実験から U_{rd} , U_d に與する同様な値は $Z_{rd} \approx 0$, $Z_d \approx 1$ であった。① 松島, 触媒 14, III (1972)



まつしまたつお・さんよみちあ

(山梨大工) 古屋長一・本尾哲

前回⁴⁾、金電極上にパラジウムを微量析出させ、その析出状態と、それにともなう水素発生反応の活性変化を測定し、パラジウムの水素発生反応の機構について考察した。ここでは白金上に微量パラジウムを析出させた場合について検討した。実験方法は前回¹⁾と同様である。

結果 白金電極上に一定量ずつPdを析出させた後、50～1550mVまで三角波入イー-アを行ひ、酸素波、水素波の測定を行った。Fig.1に1例を示す。酸素の吸着波(1)、脱着波(2)はともにPd被覆率の増加に従い、初め減少し、その後再び増加し、 $\theta_{Pd} = 1$ 以上で一定な波形となり、Pd単体のものと一致する。水素脱着波のピーク電位も θ_{Pd} に対して同様な変化をした。 $\theta_{Pd} = 1$ までに酸素波の変化が完了することより、白金表面にPdは均一に析出して行き、白金表面にPdが1原子層析出すれば酸素の吸着、脱着に関してはPd単体と同じ性質を示すことが分かった。水素吸着波は $\theta_{Pd} = 0.3$ で一定となり数原子層以上析出しても変化なく、白金と同様、表面Pd原子に1個早く吸着できる水素があることが分かる。水素酸化波は $\theta_{Pd} = 1$ 以上でも θ_{Pd} とともに増加していくことより、表面パラジウム原子に遅く吸着する水素があり、 $\theta_{Pd} = 1$ 以上では内部パラジウム原子への吸着があることが分かる。保持電位を変えてこれらの量を測定した結果、表面Pd原子には強結合、弱結合の2つの水素が吸着でき、内部Pd原子には析出層の薄いうちは表面層と同数の水素が吸着されることが分かった。種々の被覆率におけるターフェル線をFig.2に示す。低電流密度領域では θ_{Pd} がかなり大きくなてもbの値は変化が少なく、10の値もPdのそれと等しい。高電流密度領域では $\theta_{Pd} = 0.3$ 位でbの値はPdのものと等しくなる。 $\theta_{Pd} = 3$ 以上でもPdのそれよりはるかに小さく、白金バルクの影響を大きくうけていることが分かった。高電流密度領域では表面Pd原子1個に吸着した強、弱2個の水素が再結合して水素発生が起り、律速段階は吸着の遅い弱結合水素の放電段階であろうと考えられ、このことにより前報で示した様にPd単体についても同様な反応機構であると考えられる。

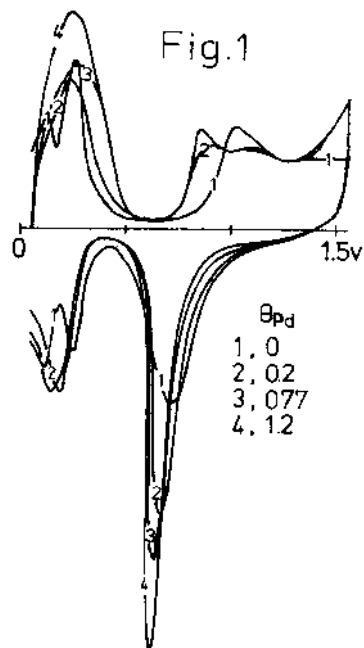


Fig.1

文献
1)古屋、本尾
日化第27秋季
年会、予稿集
I, P 592(1972)

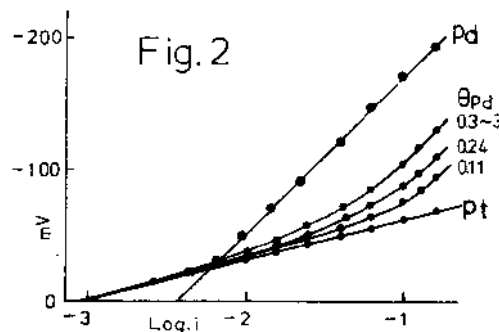


Fig.2

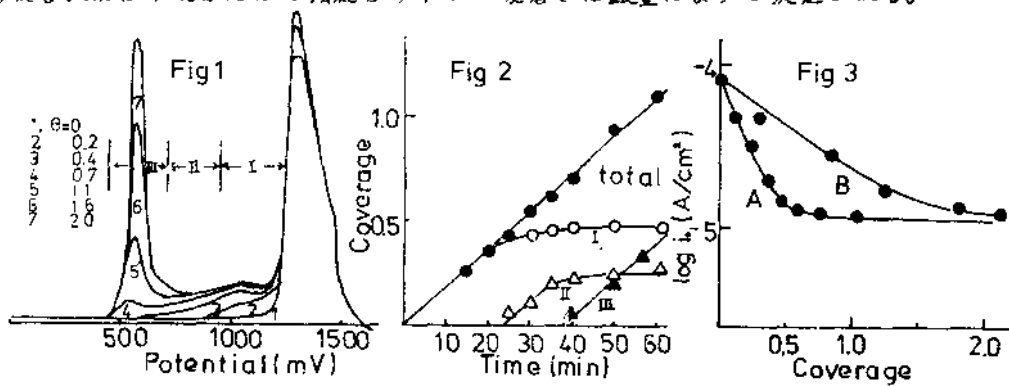
ふるやながかず・まとあさとし

(山梨大工) 古尾長一・池田正樹 本尾哲

(目的) 金表面に微量銀が析出することにより水素発生反応に対する活性変化を調べた。

(方法) Ag を約 10^4 mol/l 含む 1 N 硫酸中で金電極上に銀を析出させ、被覆率(θ_{Ag})を $0 \sim 1$ まで変化させ、その間に分極曲線の測定を行い θ_{Ag} と $\log i_{\text{H}}$ の関係を求めた。また溶出波から析出した銀と金表面との結合状態を調べた。

(結果) 上述の溶液中で金電極を陰分極し、任意時間に $50 \text{ mV} \sim 1700 \text{ mV}$ までの三角スイープを行い、金表面に析出した銀の溶出波を得た。 $T_{\text{Ag}}=55 \text{ min}$ の場合の溶出波を Fig 1 に示した。図に示すように溶出波形を三つの領域 I, II, III に分けた。I は金上に強く吸着した銀、II は弱く吸着した銀、III は金上に析出した銀の上にさらに析出した銀によるものと考えられる。Fig 2 に三種の結合状態の被覆率の時間的変化を示した。I は徐々に増加し $\theta_{\text{Ag}}=0.5$ で一定となる。II は I が飽和点近くで析出し $\theta_{\text{Ag}}=0.25$ まで増加するが、その後一定となる。III は II が一定値を示すと現われ時間とともに増大する。全被覆率は I, II, III のそれと同様傾きをもち時間とともに直線的に増大する。 $T_{\text{Ag}}=15 \text{ min}$ の三つの結合状態における時間と被覆率の場合、 $T_{\text{Ag}}=55 \text{ min}$ の場合と異なり、金上に強く吸着した銀が一定値を取る前に、弱吸着した銀および銀上に析出した銀が生じた。このことより析出速度が小さい場合には、強結合サイトを順次 Ag が埋めていくが、析出速度が大きい場合には、Ag が強結合サイトを埋めきらないうちに弱結合サイトを占める。種々の被覆率のときの水素発生反応のターフェル線から $\log i_{\text{H}}$ と被覆率の関係を求めた。これは銀が析出しても変化しないことがわかった。交換電流密度 $\log i_{\text{H}}$ と被覆率の関係を Fig 3 に示した。A および B はそれぞれ $T_{\text{Ag}}=55 \text{ min}$, $T_{\text{Ag}}=15 \text{ min}$ の場合の結果である。A では $\theta_{\text{Ag}}=0.5$, B では $\theta_{\text{Ag}}=1.5$ まで $\log i_{\text{H}}$ は直線的に減少し、それ以上ではほぼ一定値を示すが、数原子層が析出しただけでは銀そのものの i_{H} になりえない。これはバルクの影響が大きいためであろう。又、金表面に銀($\theta_{\text{Ag}}=2$)を析出させたのち低電位側より順次銀を溶出させ、被覆率を順次変化させて得た被覆率と $\log i_{\text{H}}$ の関係はほぼ A と同様になった。両者の場合において、金表面は θ_{Ag} の増加とともに強結合サイトから順次占められているものと思われる。強結合サイトは $\theta_{\text{Ag}}=0.5$ まですべて占められるので活性も $\theta_{\text{Ag}}=0.5$ まで直線的に減少するものと思われる。換言すれば活性は強結合サイトに吸着した銀量によって決定される。



ふるやながかず。ひけだまさき。もとあさとし

(城西大穂)○末岡一生・池田利男

目的: Becquerel効果を生じる最も典型的な化合物であるハロゲン化銀の光起電力が広い電解質濃度範囲でいかなる依存性を示すか、特に報告の無い塩化物、臭化物、ヨウ化物及び硝酸銀の希薄溶液(10^{-3} M/L以下)中に於ける AgCl 、 AgBr 、 AgI の濃度依存性の詳しいデータを得ることを本実験の目的とした。

方法: 1cm²の銀板に電解法によりハロゲン化銀を電着し電極とした。二本の電極を、電極物質の飽和溶液中に浸し、一方にのみ光を照射できるようにした。この溶液中に一定の濃度の電解質溶液をピュレットで滴下し濃度を変化した。光源には100Wスライド用ランプを用い電極から約10cmの場所に固定した。起電力はタケダ理研TR-84B型振動容量電位差計に記録計を接続して読み取った。試薬はすべて市販の純級試薬をそのまま用い、水はイオン交換水及び蒸留水を用いた。測定の際、落葉を塞蓋置換したが差異は認められなかつたので、以後これを省いた。

結果: 比較的高濃度では大きな依存性は認められなかつたが、希薄溶液では光起電力は著しい濃度依存性を持つことが判つた。すなわち、 $\text{Ag-Ag}/\text{KAg soln.}/\text{AgI}$ 系： 10^{-3} M/L以上のKI溶液では光起電力は10数mVで、濃度依存性はほとんど無くすでに報告されているデータと一緒にした。しかしそれ以下の濃度では、低濃度ほど著しい依存性を示し光起電力は正に非常に大きな値であった。 $\text{Ag-AgBr}/\text{KBr ag. soln.}/\text{AgBr-Ag}$ 系及び $\text{Ag-AgCl}/\text{KCl ag. soln.}/\text{AgCl-Ag}$ 系：前者は 10^{-3} M/L以上のKBr濃度、後者は 10^{-3} M/L以上KCl濃度では光起電力は各々5～6mV及び2～3mVで濃度依存性はほとんど認められなかつた。しかしそれ以下では起電力は小さく各々 5×10^{-5} M/L及び 5×10^{-4} M/L付近ではゼロになつた。又さらに低濃度では、光起電力は逆に負であり低濃度ほど著しい濃度依存性を示した。 AgBr 及び AgCl について、K塩の他にLi, NH_4 , Ca, Al, 塩の濃度依存性を同様にして試みた結果、これらの現象はすべてに共通であり、起電力がゼロになる点ではハロゲンイオニ濃度がおもむね等しい値である事が判つた。又溶媒が99%エタノール(EtOH)及び50%EtOHの場合には、一般に水、50%EtOH、99%EtOHの順に光起電力は小さくなるが、同様の傾向が現われ、ゼロになる濃度は、水 \approx 50%EtOH $>$ 99%EtOHの順になつた。

$\text{Ag-Ag}/\text{AgNO}_3 \text{ag. soln.}/\text{Ag-Ag}$ 系： AgNO_3 濃度が 10^{-3} M/L以上の濃度ではほとんど依存性はみられず約10mVの起電力を生じた。又それ以下の低濃度では薄いほど起電力は大きく、濃度依存性は著しくなつた。 $\text{Ag-AgBr}/\text{AgNO}_3 \text{ag. soln.}/\text{AgBr-Ag}$ 系及び $\text{Ag-AgCl}/\text{AgNO}_3 \text{ag. soln.}/\text{AgCl-Ag}$ 系：両系共、 10^{-3} M/L付近では数mVの負の起電力を生じ、希薄溶液ほど更に大きく濃度依存性は著しくなつたが、前者の依存性は後者よりかなり大きくなつた。

以上の現象を応用して、ハロゲンイオンを含んだ溶液に AgNO_3 溶液を滴下し、その都度の光起電力を測定した結果、ほとんど等量まで鋭い光起電力のピークを持つ滴定曲線が得られた。この事からかなり希薄のハロゲンイオンの定量が可能である事が期待される。

すえおかかずお・いけだとしお

ダブルポテンシャルステップ法への応用

(東大生研) 木原哲昭 ○渡辺 正・本多健一

藤谷義信・雄名章二・川井史彦

前報^{1,2)}では一次元および二次元のイオン拡散問題を有限要素法によって解析し、その実用性を検証した。今回は化学反応が付随する電解反応の取り扱いに本法が簡便かつ有力な方法であることを確認したので報告する。

多くの有機電極反応では電解生成物が後続化学反応を受け、いわゆるEC機構となるが、この最も簡単な場合の反応式は次式のようにあらわすことができる。



ここで k は後続一次反応速度定数を意味する。我々が計算の対象としたのは $\text{Ox} = \text{アゾベニゼン}$, $\text{Red} = \text{ヒドロアゾベンゼン}$, $\text{Z} = \text{ベンジシン}$ であるようお反応系であり、この系はShainら³⁾が、との見積りのための有力な方法であるダブルポテンシャルステップ法を用いて実験的研究を行なっている。(原理) Ox を含む電解液に、初めてで秒間では Ox の還元が拡散律速となる電位 E_c 、その後は Red の酸化が拡散律速となる E_c 電位 E_a を印加すると(図1)、そこで流れれる電流値はてあより k の関数となる。従ってこれを規制すれば、時間-電流曲線の解析により k を見積ることが可能となる。

(有限要素法計算手順の概略) Ox , Red の濃度を各々 $C_o(x, t)$,

$C_r(x, t)$ とおき、半無限平面拡散を仮定する。空間要素(図2)に分割し、時間増分 Δt を有限量 Δt でおきかえて、拡散方程式

$$\frac{\partial C_o(x, t)}{\partial t} = D_o \frac{\partial^2 C_o(x, t)}{\partial x^2} \quad \text{及び} \quad \frac{\partial C_r(x, t)}{\partial t} = D_r \frac{\partial^2 C_r(x, t)}{\partial x^2} - k C_o(x, t)$$

を前報の如くマトリックス方程式に書き直す。その場合、課せら

れよべき境界条件が自動的に満たされるようにあることができる。

これを解いて $C_o(x, t)$ および $C_r(x, t)$ を算出し、電流を

$$I(t) = nFAD_o \left[\frac{\partial C_o(x, t)}{\partial x} \right]_{x=0} \quad (0 \leq t \leq t_c)$$

$$I(t) = -nFAD_r \left[\frac{\partial C_r(x, t)}{\partial x} \right]_{x=0} \quad (t > t_c)$$

によって計算する。そうすればこの計算解と実測値とを比較して後続一次反応速度定数 k の評価が可能となる。図3はその一例で、実測曲線と計算曲線の良好な一致が認められる。

図1. 印加電位

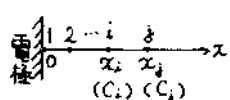


図2. 要素分割

---- 実測値(Shain et al.)
--- F.E.M.による計算値

$$\begin{cases} D_o = D_r = 0.34 \times 10^{-5} \text{ cm}^2/\text{sec} \\ A = 0.07 \text{ cm}^2 \end{cases}$$

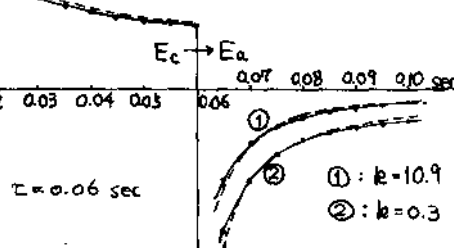


図3. 電解電流-時間曲線(実測値と計算値)

1)木原・渡辺・本多・藤谷・川井, 電化39大会 A-38, 47年3月(東京).

2)木原・渡辺・本多・藤谷・雄名・川井, 自化27年会 58!, 47年10月(名古屋)

3)W.M.Schwarz, I.Shain, J.Phys.Chem., 69 30 (1965).

さはらてつあき・わたなべただし・ほんだけんいち・ふじたによしひが・しげなしょくじ
かわいただひこ

(横田大工) ○朝倉祝治 松野武雄

[目的] 従来、金属の高電流密度における陽極溶解に関する反応機構の基礎的研究は、その複雑さと液抵抗による現象の隠蔽などのため比較的少なかった。本研究では、比較的単純な反応機構をもつたと考えられる塩化物溶液中における陽極溶解を例にとって、その反応機構をポテンシャルパルス法を用いて解析することとした。

[実験方法] 0.01Mの硫酸を含む1MのKCl溶液をHClによりpH3.5に調整し、高純度窒素で脱酸素して電解液とした。Zn電極棒(純度 99.99%)をガラス管にワックスを用いて封じ、その先端を研磨して5mmφの圓形露がすようにした。電解電流は、アンプリシフタ・ジェネレーターとポテンショスタットにより与え、応答電流はシンクロスコープで記録した。また温度は25±1℃に保った。

[実験結果] (1) 定常分極曲線: 数mA/cm²以下の電流密度においては分極電位Eと電流I_{ad}の間に $I_{ad} = I_{ad} \{ \exp(\frac{ZF\delta}{RT}) - 1 \} \dots (1)$ の関係があり、高電流密度ではEとI_{ad}は直線の関係を示す。ここに $I_{ad} = 0.76 \text{ mA/cm}^2$ である。(2) ポテンシャル・ステップ^aに対する応答: 小さい陽分極電位のステップ^aを平衡状態にある系に加えると、電流は瞬間とステップ^a電位Eについて、Kを定数として $I = K \cdot t^{1/2} \{ \exp(\frac{ZF\delta}{RT}) - 1 \} \dots (2)$ の関係が得られた。(3) 短いポテンシャル・パルスに対する応答: 1msec. のポテンシャル・パルスを0.1sec. ごとに、定常的な陽分極にてある系に加える。測定者が採用した方法により液抵抗を含む陽分極時の電極電位を求め、このとの関係をプロットすると、200mA/cm²程度まで(1)式に従い、それ以上では電流は大きい方へずれる。

(4) 定常的な陽分極にてある系に陰分極パルスを加えた場合: 陽分極にて定常状態にある系に陰分極方向のポテンシャルパルスを加えると同時に還元電流が流れある瞬間に大きくゼロに近く、電流が強くなるまでゼロに至るまでの電気量Qを電流の積分から求め、定常陽分極電流との関係を求めるとき $I_{ad} = Q \dots (3)$ 、 I_{ad} が大きくなるとQの飽和値を Q_s として、 $(Q_s - Q) \propto 1/I_{ad}^{1/2}$ が得られた。

[考察] 活性化還元電流が無視されたとして、拡散と運動が反応を支配するとして解析する。金属性Znの範囲ではZn²⁺の濃度が小さいので運動の効果は小さくして、拡散が支配的であると定常状態は、 $I_{ad} = ZF \cdot DC_0 \delta^{-1} \{ \exp(\frac{ZF\delta}{RT}) - 1 \} \dots (5)$ の定常状態は、 $i = ZF \pi \cdot D \cdot C_0 \delta^{-1} \{ \exp(\frac{ZF\delta}{RT}) - 1 \} \dots (6)$ が得られ各々実験結果(1)式、(2)式を説明できること。ここにδは拡散層の厚みC^aはZn²⁺の平均濃度である。またQは拡散層中に存在するZn²⁺をすべて還元するため必要とする電気量を仮定すると、 $Q = ZFAC_0 \delta + D \cdot C_0 \delta \delta^{-1} \dots (7)$ が得られ、 $ZFAC_0 \delta \ll C_0 \delta \cdot A \cdot D^{-1}$ であるより(3)式が説明できた。高電流密度においては、運動が支配的な層と拡散が支配的な層があると仮定すると、 $Q = ZFAC_0 (\delta - FDC_0 / I_{ad})$ がみられ(4)式が得られる。但し $Q_s = ZFAC_0 \delta$ である。各種の実験から得られた拡散層の厚みは、大略一致した。

あさくらしうくじ，まつのだけあ

(日本女子大・早大理工) 中村節子[○]、渡辺慶子[○]、梅井泰子[○]、瀧坂哲弥[○]

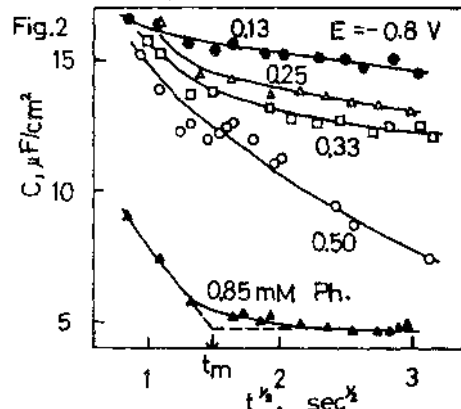
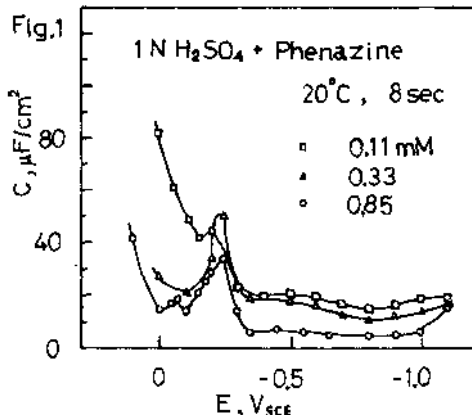
1. フェナジン類のポーラロクラフ的還元反応の機構についてはすでに検討を行なってきたり。^{1,2)} 今回も、水溶液系におけるフェナジン類(フェナジンおよびニュートラルレッド)の吸着現象に着目し、主に界面微分容量測定なら考察を行なった。

2. 試料極として滴下水銀極を用い、界面微分容量測定は交流アリッジにより周波数1 KHzで行なった。滴下時間測定は、交流アリッジにユニバーサルカウンターを組み合せて行なった。ポーラロクラフは柳本P-8型を用いた。溶液は主に1N硫酸および1N硫酸ソーダを用い、フェナジンの場合は10%エタノール溶液とした。

3. フェナジンおよびニュートラルレッドは、ポーラロクラフ的還元反応を起し、ジヒドロ体へと変化するが、その交流ポーラロクラム上に反応ピーク以外のピークがみられるため標識剤であるフェナジン類が界面で吸着する事などが想される。Fig. 1に1N硫酸中のフェナジンの微分容量-電位曲線(C-E)を代表例として示した。-0.25 V_{SC}付近の反応ピークの前後に微分容量の低下がみられ、フェナジンが界面を吸着する事が示されている。中性溶液においても同様な傾向がみられる。Fig. 2はE = -0.8 V_{SC}付近における微分容量-時間の2次の1次関係(C-t²)であるが、低濃度域ではCはt²に従って減少している。このようなC-t²に対する直線的低下は、吸着が拡散律連の場合のKoryta式とFrumkin平野コンデンサ模型の組み合せにより説明される。^{3,4)} [C = C₀ - 0.736 D^{0.5} T_m^{0.5} t², C₀: 吸着物無添加時のC ($\mu\text{F}/\text{cm}^2$), D: 拡散係数 (cm^2/sec), T_m: 最大吸着表面濃度 (mol/cm^2), a: 吸着物濃度 (mol/cm^2), t: (sec)] ただし吸着力大きく、拡散係数が小さい高分子の場合^{3,4)}と比較すると、完全な拡散律連ならば幾分ずれてC-t²の直線域がみじくなっている。ニュートラルレッドはフェナジンに比して、Dが大きいため、C-t²の直線域がフェナジンより大きい。Fig. 2中に示した吸着平衡達成時間t_mと濃度の関係は比較的直線性を示し、上述の関係を近似的に満足している。このt_m値をKoryta式に適用して、最大吸着表面濃度T_mを求めることができた。

1) 中村、吉田、電化 59, 502 (1972). 2) T.Yoshida, T.Ohsaka, S.Tanaka, Bull.Chem.Soc.Jap., 45, 3226 (1972).

2) 中村、吉田、電化 59, 714 (1972). 4) T.Yoshida, T.Ohsaka, M.Suzuki, ibid., 45, 3245 (1972).



ななぞらせつこ・わたなべけいこ・さくらいやすこ・おおさなてつせ

懸濁液循環型電極を用いた電解(第2報)

アクリロニトリルの電解還元・氧化

(東大工)吉沢四郎・松原三千郎・○辻利夫

小林重一・竹原喜一郎

1. 二元不均一反応である電極反応を三次元化し、電解槽容量を増大させることを目的として、白金墨を用いた懸濁液循環型電極による Kolbe 電解反応について前に報告した。この系では粒子表面に生成する酸化物被膜のために、期待したような電解槽容量の増大が見られなかった。そこで酸化物被膜を成しない還元反応に注目し、アクリロニトリルの電解水添上量化によるアジボニトリルの生成反応へのこの電解装置の適用性を、主として電流増加率・電流効率・反応選択性の面から検討した。

2. 電極は陰極を流动電極とし、current feederとしては 15 ml/h の電解鉛錆を、懸濁粒子には 60 ~ 120 mg/h の電解鉛を、表面酸化物を除くために 1 N 塩酸中で十分に還元して使用した。陽極には白金網を用いた。両極電の混合を防ぐためアニオン交換膜を隔膜として使用した。電解液にはアトールエンスルホン酸テトラエチルアンモニウム 5% 水溶液にアクリロニトリルを飽和させたものを用いた。装置は前報と同様のものを使用した。電位は飽和カロメル基準で測定した。生成物の定性・定量は Baizer らの方法と同様に、ガスクロマトグラフィーを用いて行った。

3. i) 鉛粒子を懸濁させることにより、current feeder に流れる電流は図に示すように著しく増加し、またその増加量は懸濁粒子の量が多いほど大きくなる。

ii) 懸濁量が一定の時、電流値は流速に比例して増大し、その傾きは分極が大きくなるほど小さくなる。

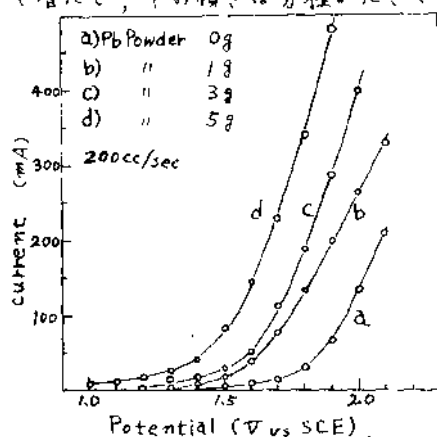
iii) 一定電位で電流値は経時変化を示し、時間の経過と共に増大する傾向にあり、前報における Kolbe 電解反応の場合と逆の結果を得られた。

iv) アジボニトリル生成の電流効率は、Baizer らの静止電極を用いた結果に比較して低下するが、アクリロニトリルなどの副反応生成物が増加するということではなく、反応の選択性は変化しない。電流効率の低下は懸濁粒子の前処理せずに実験を行なったためである。このため電流の経時変化は前報の陽極酸化反応の場合と逆になるものと考えられる。

v) 以上の結果から、このアクリロニトリルの系に懸濁液循環型電極を用いることにより、反応の選択性などを変えることなく電解槽容量を増大させることができる。懸濁液循環型電極を有機化合物の還元反応に適用することにより、交換電流密度の小さい有機電極反応の電解槽容量を増大させることを期待できる。

1) M. Baizer; J. Electrochem. Soc., 111, 215 (1964)

よしざわしろう・まっぱらみちろう・つじとしお・おぐみせんぱち・たけはうせんいちろう



二酸化炭素の電気化学的還元について（第3報）電解液の種類による影響

(名工大) 伊藤 雅一・村田俊生

I 水溶液中で Hg をカソードにして CO_2 を電気化学的に還元した場合、100 % の電流効率で CH_4 が生成されることが知られている。著者らは、前報で水素過電圧の比較的高い Ca , Zn , Pb , Sn , In をカソードにして CO_2 を電解還元し、 CH_4 が生成されることを見出した。本研究では最も効率の良かった In を使用して、電解液中の陽イオンの影響について検討した。

2 電解液として Li_2CO_3 , Na_2CO_3 , K_2CO_3 , $(NH_4)_2CO_3$ の 0.1 N 水溶液を用いた。純度 99.999 % の In 電極は表面をナイフで切り、アセトンで洗浄してから、0.1 N Li_2CO_3 水溶液中、窒素ガス雰囲気でカソードとして予偏電解してから使用した。電解槽は H 型のものを使用し、中央に陽イオン交換膜（旭硝子製セレミオン CMV）の隔膜を設け、カソード液とアノード液が混入しないようにした。 CO_2 は硫酸バナジウムの脱酸素剤液に通して酸素を除去了した。温度は 25°C で行った。

3 CH_4 生成の電流効率に対する電解液中の陽イオンの影響は図 1 に示されるようになった。この図より高電流密度領域では Li^+ イオンが最もすぐれていことがある。一般に電流密度が大きくなるにつれて電流効率は低下するが、これは CO_2 の還元反応と同時に水素ガス発生反応がしがいに激しく起こるためである。次に施ガスと CO_2 ガスをバーリングした時の電流-電位曲線図 2 に示すようになった。この図より水素ガス発生反応に相当する N_2 ガスの場合の電流-電位曲線は CO_2 ガスの場合のものよりもそれが卑な方に移動しており陽イオンの影響はかなり大きいが、 CO_2 ガスの場合の電流-電位曲線は陽イオンの種類とは無関係にほぼ一致していることがわかる。

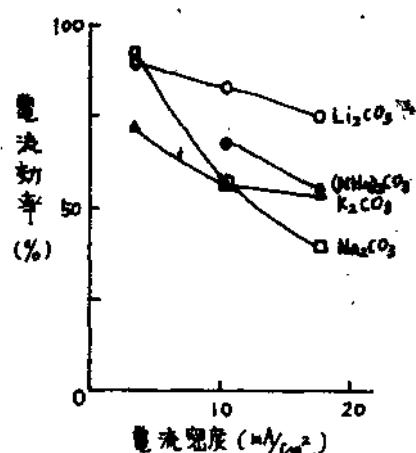


図 1 CH_4 生成の電流効率

文献 1) 伊藤, 村田, 日本化学会第27秋季年会講演予稿集 I, 593 (1972)

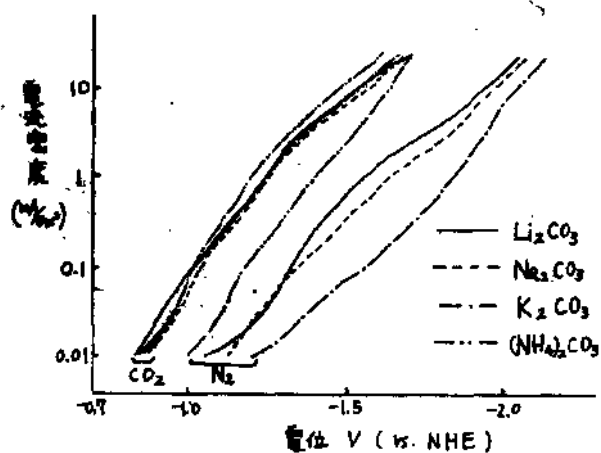


図 2 電流-電位曲線

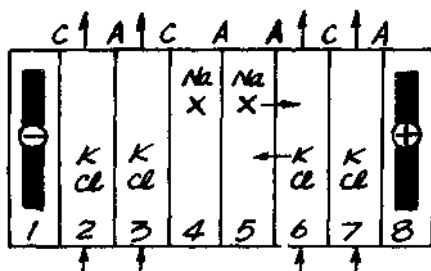
以上が私の意見です。

(姫路工大) ○竹谷彰二・堂野礼三・白子忠男・高嶋田郎

1. 有機電解質の分離、濃縮、精製などに、イオン交換膜を応用する場合の基礎研究の一つとして、前報(第26春季年会講演予稿集II, p.624)につづき、本報では、各種脂肪族カルボン酸塩についての電解を行ない、カルボン酸イオンの陰イオン交換膜に対する透過性を比較検討した。

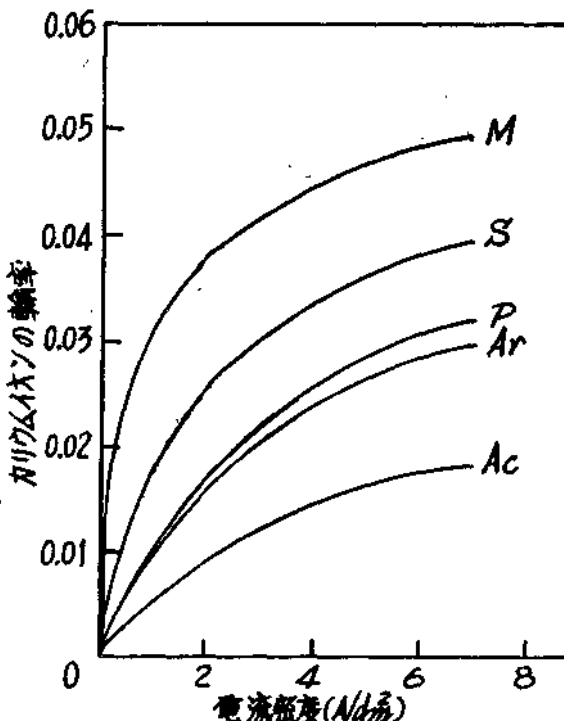
2. 実験に用いた装置は、8室からなる小型電解槽で、陽イオン交換膜(C)および陰イオン交換膜(A)を図のように配置し、2, 3, 6, 7の各室には1molの強化カリウム溶液を一室当たり約700ml/min(30°C)の速さで約20lを循環して流し、4および5の両室には1molの脂肪族カルボン酸ナトリウム溶液(XNa)の一定量を入れて静置し、0~7A/dm²の電流密度で通電を行ない、6室から陰イオン交換膜を通過して5室に入ってきたカリウムイオンを炎光分析により定量してその輸率を求め、これか

らカルボン酸イオンの透過性を同一条件下で比較検討した。用いた膜は、徳山電機のNeose-pfa CL-2.5T およびAV-4Tである。試料は、酢酸(Ac), プロピオン酸(P), アクリル酸(Ar)



コハク酸(S), マレイン酸(M)などのナトリウム塩である。

3. その結果、これらの脂肪族カルボン酸イオンが陰イオン交換膜を通り易いの順は、図のように酢酸、アクリル酸、プロピオン酸、コハク酸、マレイン酸とあつた。さきに著者は、低分子一価脂肪酸のナトリウム塩については、分子量の増加とともに透過性が減ずることを認め、イオンの大きさの影響を論じた。ところは、二重結合による構造的差異はあまりないが、二塩基酸とは飽和と不飽和の透過性に差のあることがわかつた。これらの原因は分子構造上の差異によることを考察した。



たけたにしようじ・どうのれいぞう・はくしただお・たかしましろう

ベンゾフェノンのエタノール溶液中における光起電効果

(阪大工) 清水俊之, 天西秀夫, 洪 廉欽, 朝 韶,
長浦天男

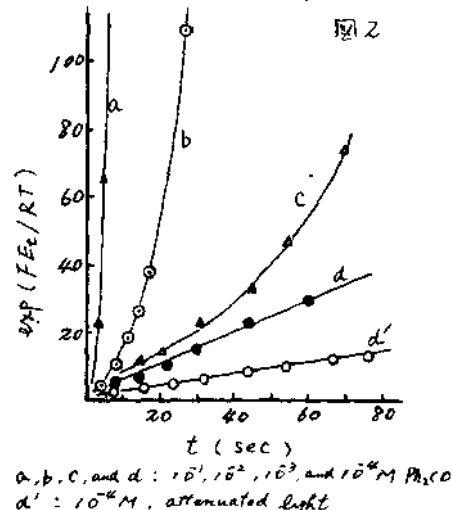
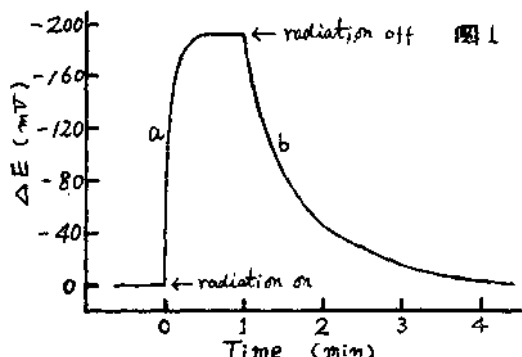
1 光照射下での有機化合物の電極反応の研究の一環として、光起電反応の研究を行つた。本研究では対象にベンゾフェノン/エタノール系を選び、光透過電極を用いて電位測定および溶液側から光照射した場合の電位-時間曲線を種々の条件下で測定し、主に曲線の解析より光起電反応の機構を考察した。

2 作用極には石英板にスパッタ法で白金をついた白金膜透過電極を、参照極は銀・塗化銀電極を、光源には500 Wキセノンランプを用いた。ベンゾフェノンの光起電力の測定は直接電位差計を用いて、振動容量型電位差計とレコーダーである。全ての測定は窒素ガスで十分に脱気後実施した。

3 透過電極を通して溶液中に光を照射した場合の電位-時間曲線は図1の曲線aに示すように短時間で定常値に達し、その後はベンゾフェノン濃度と光強度に依存した。光照射を止めると電位は図1の曲線bのようになる。ベンゾフェノン/アルコール系の光照射による3ピナコールの生成はケチルラジカルの生成を経由する機構で説明されである。電位決定段階式、 $Pb_2CO \rightleftharpoons Pb_2CO + H^+ + e^-$ であるとすれば作用極の電位はエルンスト式よりベンゾフェノンとケチルラジカルの濃度比によって決定される。したがって、光を切った後の電位変化はベンゾフェノンの界面濃度が一定であれば界面のケチルラジカル濃度へ変化が表かれる。ケチルラジカルが、 $2Pb_2CO \xrightarrow{\text{light}} (Pb_2COH)_2$ と(1)のみ消失するとすれば、電位の時間変化は次式で表わされる。

$$\exp(FE_t/RT) = K \exp(FE_0/RT)(1/\alpha + R_1 t) \quad \dots \dots (2)$$

ここで E_t は時間 t における電位、 E_0 は光を切る前の定常電位、 K は定数、 α はケチルラジカルの初期濃度である。 $\exp(FE_t/RT)$ と t のプロットは図2に示すようにベンゾフェノン濃度が低い場合および光強度が弱い場合には直線関係が得られる。直線からヘリオ化學反応は第2次過程によるケチルラジカルの界面濃度の減少によるものと見てられる。



しおぎとしゆき、おおにしきでお、こうきさん、くねきあさり、おがううしがお

電極反応の選択性向上の研究(第2報)
銅塩存在下におけるm-ニトロアニリンの陽極酸化反応
(広島大工) ○木谷 晴・文野義幸・佐々木和夫

1 有機電極反応は電位を規定することにより、反応に選択性を持たせうことなきものと長前とされていながら、実際にはその様な例はむしろまれである。電極電位以外に反応を選択する要因として、電極材料、支持電解質等種々考えられるが、著者等は溶液中に金属イオンを添加して、反応種の存在状態を変化させることによる電極反応の選択性の向上を試みた。即ち、添加した金属イオンと有機化合物(反応中間体の場合もあり)が錯体を形成することにより、遊離した状態とは全く異なり、反応を行なわせようとするもので、すでに1-フェニルアソ-2-ナフチルアミンの電解酸化において、酢酸銅と共存させることにより、選択的にトリアソール環が生成する事を報告した。¹⁾今回はその続報としてm-ニトロアニリン(NA)の陽極酸化反応に対する銅塩の効果を検討した。

2 動作電極には白金、基盤にはアセトニトリル、支持塩としては過塩素酸ナトリウムを用い、回転極によるホーラログラム、静止極によるサイクリックボルタメトリーにより基礎的挙動を調べた。又、定電位マクロ電解を行ない、生成物は紫外・可視スペクトル、滴下水銀電極によるホーラログラム等によって検討した。

3 回転電極によるホーラログラムは $E_{1/2} = 1.24 \text{ V}_{\text{vs}} \text{ SCE}$ の一級波を示し、酢酸銅を添加すると波高は増大したが、電位の移行は見られなかつた。紫外・可視スペクトルにおいても、銅塩の添加により吸収波長は変化しなじまでも、前報¹⁾の場合とは異なり、NAと酢酸銅は錯体は形成していないと思われる。NAの濃度を一定にして酢酸銅の濃度を変化させた場合、NAの波高は酢酸銅がNAの1.5倍量までは直線的に増加するが、それ以上では一定値となる。又、この場合の波高は無添加の時の波高の倍であり、同一条件下でのハイドロキノンの酸化波との波高の比數は1.2を電子反応であると選えられる。サイクリックボルタモグラムは二段の酸化波を示し、走査速度とピーク電流との関係からオード波は抗微律速である。8V~1.5Vの間で繰り返し定電位走査を行なうても、酸化波に対応する還元ピークは得られないが、銅塩を添加すると、オード波の波高が増大(下地は僅少に差異はみられない)する。

1.42VでNAの定電位マクロ電解を行なうと、溶液は赤色に変化したが、電極に黒色の不溶マー状のものが附着し、発電が急激に減衰した。電解後の紫外・可視スペクトルは電解前のものとはほとんど一致する。酢酸銅を共存させて同様に電解を行なう場合は、急激な電流の減衰はたらず、通過電流量より反応電子数を求めるところに近い値となる。滴下水銀電極によるホーラログラムからNAは電解液中には残存せず、紫外スペクトルからも紫外部に新しいピークが見られた。以上の結果より、酢酸銅の有無により反応経路(生成物)が異なる事は明らかであり、これは中間生成物と銅塩との相互作用が影響するものと思われる。

1) 佐々木・松本・木谷、日本化学会誌 1039 (1972)

さだにあさら・ぶんのもりゆきなり、ささきかすみ